

АЛГЕБРАЇЧНА АТАКА НА ДВІЙКОВІ SNOW2.0-ПОДІБНІ ПОТОКОВІ ШИФРИ

М.А. Овчарова¹

¹ Національний технічний університет України
«Київський політехнічний інститут імені Ігоря Сікорського»,
Фізико-технічний інститут

Анотація

У статті викладено основні поняття, які потрібні для розуміння роботи поточкового шифру SNOW2.0 та SNOW2.0-подібних поточкових шифрів, а також атака на спрощену версію шифру SNOW2.0 та її аналіз, що дозволяє розширити область застосування алгебраїчної атаки на двійкові SNOW2.0-подібні поточкові шифри.

Ключові слова: поточкові шифри, SNOW2.0, алгебраїчні атаки, стійкість поточкових шифрів.

Вступ

У сучасному світі існує достатньо поточкових шифрів, вразливості яких ще не знайдені, проте деякі з них відрізняються досить складними перетвореннями. Постає питання, чи можна якось спростити ці шифри, не втрачаючи їх стійкість та не набуваючи нових уразливостей.

Метою дослідження є формулювання умов, які зумовлюють уразливість двійкових SNOW 2.0-подібних поточкових шифрів до відомої алгебраїчної атаки. Для досягнення мети спочатку розглянемо атаку на конкретному прикладі.

У цій роботі буде проводитися дослідження процесу перетворення інформації у двійкових SNOW 2.0-подібних шифрах та властивостей компонент алгоритмів шифрування, що визначають їх стійкість відносно алгебраїчних атак. Декілька умовних позначень:

\oplus – операція побітового додавання (за модулем 2).

\boxplus – операція додавання за модулем 2^{32} .

РЗЛЗЗ – регістр зсуву з лінійним зворотним зв'язком.

СА – скінченний автомат.

Rijndael (Advanced Encryption Standard, AES [4]) – симетричний алгоритм блокового шифрування (розмір блока 128 біт, ключ 128/192/256 біт).

S-блок – нелінійна байтова таблиця заміни.

1. Опис SNOW 2.0-подібних шифрів

Потоковий шифр SNOW 2.0 складається з РЗЛЗЗ з 32 бітами та СА з двома 32-бітовими регістрами пам'яті [1]. Схема роботи шифру представлена на рис. 1.

СА призначен для породження нелінійності, з цією метою він реалізує нелінійну бієкцію між регістрами пам'яті S , що базується на S-блоці блокового шифру Rijndael.

Правило роботи СА описується такою системою співвідношень:

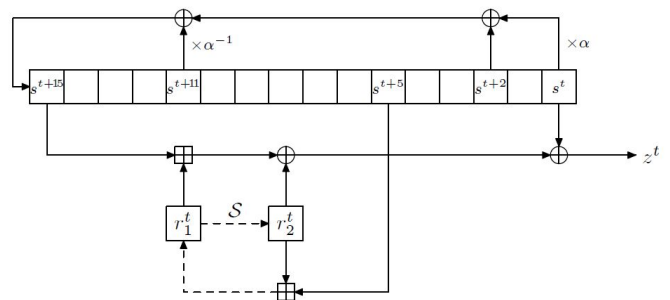


Рис. 1. Схема роботи шифру SNOW 2.0

$$\begin{cases} r_2^{t+1} = S(r_1^t), \\ r_1^{t+1} = r_2^t \boxplus s^{t+5}, \\ F^t = (r_1^t \boxplus s^{t+15}) \oplus r_2^t, \end{cases}$$

У нормальному режимі вихідний потік гами визначається, як $z^t = s^t \oplus F^t$, або:

$$z^t = s^t \oplus (r_1^t \boxplus s^{t+15}) \oplus r_2^t.$$

Спеціальний режим роботи (ініціалізація шифру, заповнення початкового стану регістру та СА; потік гами при цьому не виробляється) описується трохи іншим співвідношенням:

$$s^{t+16} = \alpha^{-1} s^{t+11} \oplus s^{t+2} \oplus \alpha s^t \oplus F^t.$$

У спрощеній версії шифру SNOW 2.0 модульне додавання \boxplus замінюється на \oplus в його описі, все інше залишається ідентичним [2].

У випадку спрощеної схеми правило роботи СА описується такою системою співвідношень:

$$\begin{cases} r_2^{t+1} = S(r_1^t), \\ r_1^{t+1} = r_2^t \oplus s^{t+5}, \\ F^t = r_1^t \oplus s^{t+15} \oplus r_2^t, \end{cases}$$

Тепер у нормальному режимі вихідний потік гами визначається як $z^t = s^t \oplus F^t$, або

$$z^t = s^t \oplus (r_1^t \oplus s^{t+15}) \oplus r_2^t,$$

а спеціальний режим роботи – як

$$s^{t+16} = \alpha^{-1} s^{t+11} \oplus s^{t+2} \oplus \alpha s^t \oplus F^t.$$

S -блок є перестановкою на множині 32-бітових векторів, що базується на раундовій функції шифру Rijndael. Нехай $w = (w_3, w_2, w_1, w_0) \in$ вхідними даними S -блоку, де $w_i, i = 0..3$, – чотири байти з w та w_3 – найбільш значущий байт. Нехай

$$w = \begin{pmatrix} w_0 \\ w_1 \\ w_2 \\ w_3 \end{pmatrix}$$

є вектором, що будемо подавати на вхід до S -блоку. Спочатку застосовуємо S -блок до кожного байту вектора, отримуємо:

$$\begin{pmatrix} S_R[w_0] \\ S_R[w_1] \\ S_R[w_2] \\ S_R[w_3] \end{pmatrix}$$

У перетворенні *MixColumn* раундової функції шифру Rijndael кожен байт розглядається як елемент скінченного поля \mathbb{F}_{2^8} , породженого незвідним поліномом

$$x^8 + x^4 + x^3 + x + 1 \in \mathbb{F}_2[x].$$

Відповідно, кожен 4-байтовий вектор може бути представлений поліномом не більше ніж 3-го степеня над \mathbb{F}_{2^8} , коефіцієнтами якого виступають байти-координати даного слова. Під час виконання *MixColumn* поліном, який представляє вхідний вектор, множиться на фіксований поліном

$$c(y) = (x + 1)y^3 + y^2 + y + x \in \mathbb{F}_{2^8}[y]$$

за модулем $y^4 + 1 \in \mathbb{F}_{2^8}[y]$; координати результуючого поліному (також степеня не вище 3) утворюють вектор, що є вихідним значенням процедури.

Описане перетворення векторів через множення на поліном (як у шифрі Rijndael) може бути обчислено еквівалентним чином через множення матриць:

$$\begin{pmatrix} r_0 \\ r_1 \\ r_2 \\ r_3 \end{pmatrix} = \begin{pmatrix} x & x+1 & 1 & 1 \\ 1 & x & x+1 & 1 \\ 1 & 1 & x & x+1 \\ x+1 & 1 & 1 & x \end{pmatrix} \begin{pmatrix} S_R[w_0] \\ S_R[w_1] \\ S_R[w_2] \\ S_R[w_3] \end{pmatrix}$$

де (r_3, r_2, r_1, r_0) – вектор вихідних байтів S -блоку. Ці байти конкатенуються та формують вихідне слово з S -блоку $r = \mathcal{S}(w)$ [3, 4].

У оригінальному SNOW 2.0 та у його спрощеній версії нелінійність у СА досягається за допомогою описаного відображення між регістрами пам'яті S , що заснована на S -блоці блокового шифру AES. У випадку двійкових SNOW2.0-подібних шифрів, використовуючи заміну модульного додавання \boxplus на \oplus , як у спрощеній версії, ми відходимо від S -блоку шифру AES та розглядаємо будь-яку функцію \mathcal{N} , що забезпечує нелінійність (рис. 2).

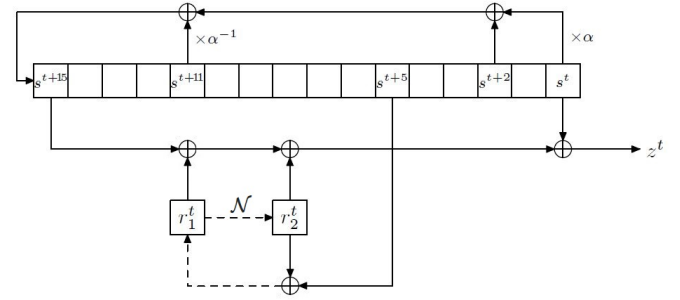


Рис. 2. Схема роботи двійкового SNOW 2.0-подібного шифру

2. Опис алгебраїчної атаки на двійковий SNOW 2.0-подібний шифр

Після опису спрощеної версії шифру SNOW 2.0 у першому розділі перейдемо до самої атаки. Розглянемо генерування ключового потоку та правило оновлення регістру r_1 , яке виключає пам'ять із набору рівнянь (рис. 3).

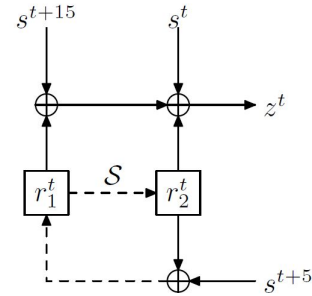


Рис. 3. Схема СА спрощеної версії шифру SNOW 2.0

Отримуємо систему рівнянь

$$\begin{cases} z^t = s^{t+15} \oplus r_1^t \oplus s^t \oplus r_2^t, \\ r_1^t = r_2^{t-1} \oplus s^{t+4}, \end{cases}$$

яка, після підстановки другого рівняння у перше, перетворюється на рівняння

$$r_2^t = r_2^{t-1} \oplus z^t \oplus s^{t+15} \oplus s^{t+4} \oplus s^t.$$

З цього рівняння отримуємо вираз для регістра r_2 для будь-якого кроку t , що включає елементи ключового потоку, початкове заповнення РЗЛЗЗ s^0, \dots, s^{15} та початкове заповнення r_2^0 регістру r_2 . Заносимо до рівняння для кожного кроку t відомі коефіцієнти e_t^i :

$$r_2^t = r_2^0 \bigoplus_{i=0}^t z_i \bigoplus_{j=0}^{15} e_t^j s_j.$$

Нехай $t = 0$ для першої вихідної послідовності гами. Легко перевірити, що регістр r_1 оновлюється за правилом $r_1^{t+1} = r_2^t \oplus s^{t+5}$ (також початковий стан регістру r_1 можна отримати зі стану r_2^0 та зі співвідношення $r_1^0 = r_2^0 \oplus s^0 \oplus s^{15} \oplus z^0$). Іншими словами, ми позбулися впливу пам'яті на кроки $t > 0$, оскільки побудували лінійну залежність із початковим заповненням РЗЛЗЗ та r_2^0 .

На рис. 4 наведена ілюстрація лінійної залежності між $r_2^0, s^0, \dots, s^{15}$ у регістрах пам'яті r_1 та r_2 .

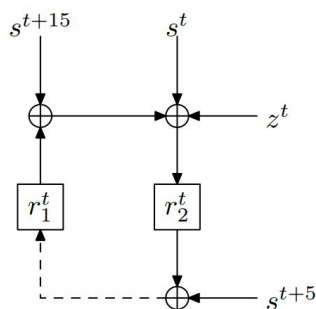


Рис. 4. Відстеження регістрів пам'яті r_1 та r_2

З огляду на те, що функція \mathcal{S} побудована на S -блоці шифру Rijndael, отримуємо систему з 156-ти квадратичних рівнянь, яка описує залежність між r_1^t та r_2^{t+1} [5].

Відновлення початкового стану РЗЛЗЗ та ключа можна звести до знаходження розв'язку такої системи, проте існує дві різні стратегії.

Перша базується на лінеаризації системи, проте у такому випадку вона потребує приблизно 2^{51} операцій.

Інша стратегія полягає у пошуку розв'язку систем квадратичних рівнянь без лінеаризації. У такому випадку складність рішення системи значно вища за вирішення лінеаризованої.

Як тільки початковий стан s^0, \dots, s^{15} та r_2^0 буде відновлений, використовуючи метод лінеаризації, r_1^0 буде отримано з виразу $r_1^0 = r_2^0 \oplus s^0 \oplus s^{15} \oplus z^0$, так що стане відомо повний стан шифру при $t = 0$. Для того, щоб отримати секретний ключ K (і, таким чином, передбачувати в подальшому послідовність гами для інших початкових станів), достатньо запустити один раз шифр у зворотньому порядку у нормальному режимі та 32 рази у спеціальному режимі зворотнього зв'язку. З цього випливає, що переходи станів SNOW 2.0 у нормальному та у спеціальному режимах є оберненими. Зважаючи на це, ми зможемо отримати стан РЗЛЗЗ під час ініціалізації, а саме значення початкового стану та секретного ключа [2].

3. Розширення алгебраїчної атаки на двійкові SNOW 2.0-подібні шифри

У попередньому розділі було наведено приклад атаки на спрощену версію потокового шифру SNOW2.0, що дозволяє виділити основні кроки її побудови, дію яких можна перенести на двійкові SNOW2.0-подібні шифри.

Спочатку дамо визначення алгебраїчної імунності S -блоку. Розглянемо деякий S -блок як векторну булеву функцію $S : V_n \rightarrow V_n$ з координатними функціями s_1, \dots, s_n та ідеал кільця булевих функцій від $2n$ змінних $x = (x_1, \dots, x_n)$, $y = (y_1, \dots, y_n)$, який визначається за формулою

$$I(S) = \langle y_1 \oplus s_1(x), \dots, y_n \oplus s_n(x) \rangle.$$

Алгебраїчна імунність S -блоку визначається рівністю [6] $AI(S) = \min \deg I(S)$, де

$$\min \deg I(S) = \min \{ \deg f : f \in I \setminus \{0\} \}.$$

Загальна схема атаки виглядає таким чином.

Вхід: S -блок, загальна система рівнянь генерації гами;

- 1) побудова системи булевих рівнянь S -блоку;
- 2) визначення алгебраїчної імунності S -блоку;
- 3) визначення системи незалежних рівнянь мінімального степеня між регістрами пам'яті.

Вихід: система рівнянь генерації гами (об'єднання загальної системи рівнянь генерації гами та рівнянь, що описують залежності між регістрами пам'яті).

Саме ця система дає змогу визначити складність проваджуваної алгебраїчної атаки, а її розв'язок дозволить відновити початковий стан шифру.

Висновки

У данній статті було розглянуто схему роботи потокового шифру SNOW 2.0 та його модифікацію, наведено приклад атаки на спрощену версію потокового шифру SNOW 2.0, а також описана схема поширення цієї атаки на будь-які двійкові SNOW 2.0-подібні шифри.

Перелік використаних джерел

1. Ekdahl, P., Johansson, T.: A new version of the stream cipher SNOW. In: Nyberg, K., Heys, H.M. (eds.) SAC 2002. LNCS, vol. 2595, pp. 47–61. Springer, Heidelberg (2003)
2. Billet O., Gilbert H. (2005) Resistance of SNOW 2.0 Against Algebraic Attacks. In: Menezes A. (eds) Topics in Cryptology – CT-RSA 2005. CT-RSA 2005. Lecture Notes in Computer Science, vol 3376. Springer, Berlin, Heidelberg
3. Nyberg K. (1991) Perfect nonlinear S-boxes. In: Davies D.W. (eds) Advances in Cryptology – EUROCRYPT '91. EUROCRYPT 1991. Lecture Notes in Computer Science, vol 547. Springer, Berlin, Heidelberg
4. Daemen J., Rijmen V.: The design of Rijndael, Springer Verlag Series on Information Security and Cryptography, Springer Verlag, 2002, ISBN 3-540-42580-2.
5. Courtois N. T., Pieprzyk J. Cryptanalysis of block ciphers with overdefined systems of equations. In Y. Zheng, editor, Advances in Cryptology- ASIACRYPT 2002, volume 2501 of Lecture Notes in Computer Science, pages 267–287. Springer-Verlag, 2002.
6. Олексійчук А. М. Алгебраїчна імунність векторних булевих функцій та булеві базиси Грьобнера [рукопис].